

چینه نگاری سکانسی سازند الیکا در برش تاش، البرز شرقی

فرزاد ستوهیان*

گروه محیط زیست، دانشکده منابع طبیعی، دانشگاه گیلان، گیلان، ایران
* مسئول مکاتبات- آدرس الکترونیکی: sotohian-farzad@yahoo.com
(دریافت: ۱۵/۱۱/۸۴؛ پذیرش: ۱۴/۹/۸۵)

چکیده

سازند الیکا در برش تاش به ضخامت ۳۰۰ متر یکی از کامل‌ترین برش‌ها در زون البرز شرقی محسوب می‌شود. مطالعات پتروگرافی نمایانگر این است که رسوبات برش تاش را می‌توان به چندین گروه از میکروفاسیس‌های آهکی تقسیم کرد. این میکروفاسیس‌های آهکی در چهار زیر محیط رسوبی پهنه جزر و مدی، لاغون، سد یا بار و دریای باز تشکیل شده‌اند. فقدان ریف و رخسارهای دوباره رسوب کرده نشان می‌دهد که پلاتفرم کربناته سازند الیکا از نوع فلات قاره همانند جنوب خلیج فارس از نوع رمپ بوده است. مطالعات صحرایی و آزمایشگاهی نشانگر چهار سکانس رسوبی رده سوم می‌باشد.

واژه‌های کلیدی: سکانس استراتیگرافی، تاش، رمپ، رخساره.

موقعیت جغرافیایی

برش مورد مطالعه در شمال تا شمال غربی روستای تاش از توابع شهرستان شاهروド قرار دارد و مختصات جغرافیایی آن $40^{\circ} 54' 54''$ طول شرقی و $36^{\circ} 35' 35''$ عرض شمالی است.

تنها راه ارتباطی آسفالته منطقه، جاده شاهروود - تاش است که از شهر بسطام می‌گذرد. این روستا در شمال غربی شهرستان شاهروود در 40 کیلومتری آن قرار دارد. شمال و غرب دارای جاده خاکی می‌باشد (شکل ۱).

مشخصات سنگ چینه‌ای سازند الیکا در برش تاش

چینه‌های الیکا در برش تاش دارای ضخامت تقریبی 300 متر می‌باشد و همانند دیگر برش‌ها در زون البرز شرقی از تنوع لیتولوژی برخوردار نمی‌باشد (شکل ۲). براساس مطالعات صحرایی و مطالعات آزمایشگاهی (بویژه پتروگرافی دقیق مقاطع نازک) می‌توانیم سازند الیکا را در این برش به 5 بخش مجزا و قابل تشخیص تفکیک نماییم (شکل ۳) که شامل 5 متر افق بوکسیتی (بخش ۱) و آهک‌های نازک لایه (بخش ۲) در زیر است، که بتدریج به آهک‌های دولومیتی (بخش ۳) و آهک‌های ضخیم لایه (بخش ۴) و در نهایت به دولومیت توده‌ای (بخش ۵) در بالا تبدیل می‌شود. سازند الیکا در این ناحیه با ناپیوستگی فرسایشی توسط سازند شمشک پوشیده می‌شود و خود با ناپیوستگی فرسایشی بر روی سازند روته به سن پرمین میانی قرار می‌گیرد.

مقدمه

سنگ‌های تریاس زیرین و میانی در حوضه البرز با سازند الیکا مشخص می‌گردند. این سازند عمده‌اً از آهک‌های نازک لایه در بخش قاعده و آهک و آهک دولومیتی در بخش بالایی تشکیل شده است. برش الگوی این سازند در نزدیکی دهکده الیکا توسط گلاس (Glaus 1964) معرفی شده است. محیط رسوبی سازند الیکا توسط قماشی (۱۳۷۰)، لطفپور (۱۳۷۶)، ربانی (۱۳۷۳)، طهماسبی (۱۳۷۶) و جهانی (۱۳۷۹) در مناطق مختلف البرز مورد بررسی قرار گرفته است.

توالی‌های کربناته بخش زیرین و میانی سازند الیکا در برش تاش شباهت زیادی به دیگر برش‌های مطالعه شده در زون البرز بویژه البرز مرکزی دارد (ستوهیان ۱۳۸۳).

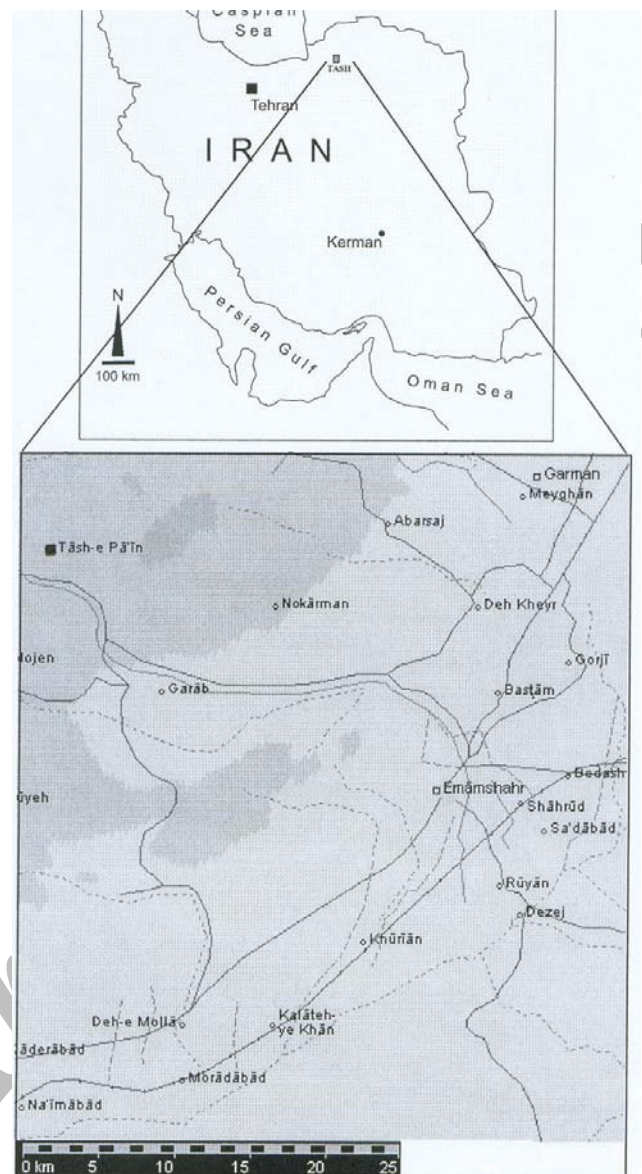
سازند الیکا در برش تاش با ناپیوستگی فرسایشی که با افق لاتریتی و بوکسیتی مشخص است بر روی سازند روته به سن پرمین میانی قرار می‌گیرد و مرز فوقانی این سازند نیز با ناپیوستگی فرسایشی مشخص گردیده و توسط رسوبات رودخانه‌ای - دلتایی سازند شمشک پوشیده می‌شود.

در این تحقیق سعی بر این بوده است، با توجه به مطالعات صحرایی دقیق و بویژه بررسی مقاطع نازک میکروفاسیس‌ها و تغییر ناگهانی در رخسارهای رسوبی، مرز سکانس‌های رسوبی و تعداد آنها را در برش تاش تعیین نمائیم.

از نمونه‌های برداشت شده مقطع نازک تهیه گردیده و پس از تعیین درصد فراوانی دانه‌های متشكله، براساس طبقه‌بندی دانهام (Dunham 1962) نامگذاری گردیدند. در این مورد از روش‌های کارورزی (Wilson 1975) و یلسوون (Carozzi 1989) استفاده شده است.

روش مطالعه میکروفاسیس‌ها

بررسی مقاطع نازک میکروفاسیس‌ها، از مهمترین عوامل جهت تشخیص سکانس‌های رسوبی در برش تاش می‌باشد. به همین منظور تعداد ۲۰۰ نمونه جهت‌دار انتخاب گردید، فاصله نمونه‌برداری براساس تغییرات رخساره‌ای و بافتی مشاهده شده در روی زمین صورت گرفت.



شکل ۱- موقعیت جغرافیایی و راههای ارتباطی برش تاش.

۱- گروه میکروفاسیس‌های ساحل (B-Beach)

الف: گاستروپود گرینستون (B₁)

آلومک‌های این رخساره از مجموعه جانوری لاغون نظری گاستروپود و دوکفه‌ای تشکیل شده که در اثر امواج، به این محیط حمل گردیده‌اند. اطراف بعضی از دانه‌ها را قشر نازکی از اکسید آهن فراگرفته است، گاستروپودهای همایتی شده مربوط به بخش خارج از آب ساحل، این رخساره می‌باشد (شکل ۱-۴).

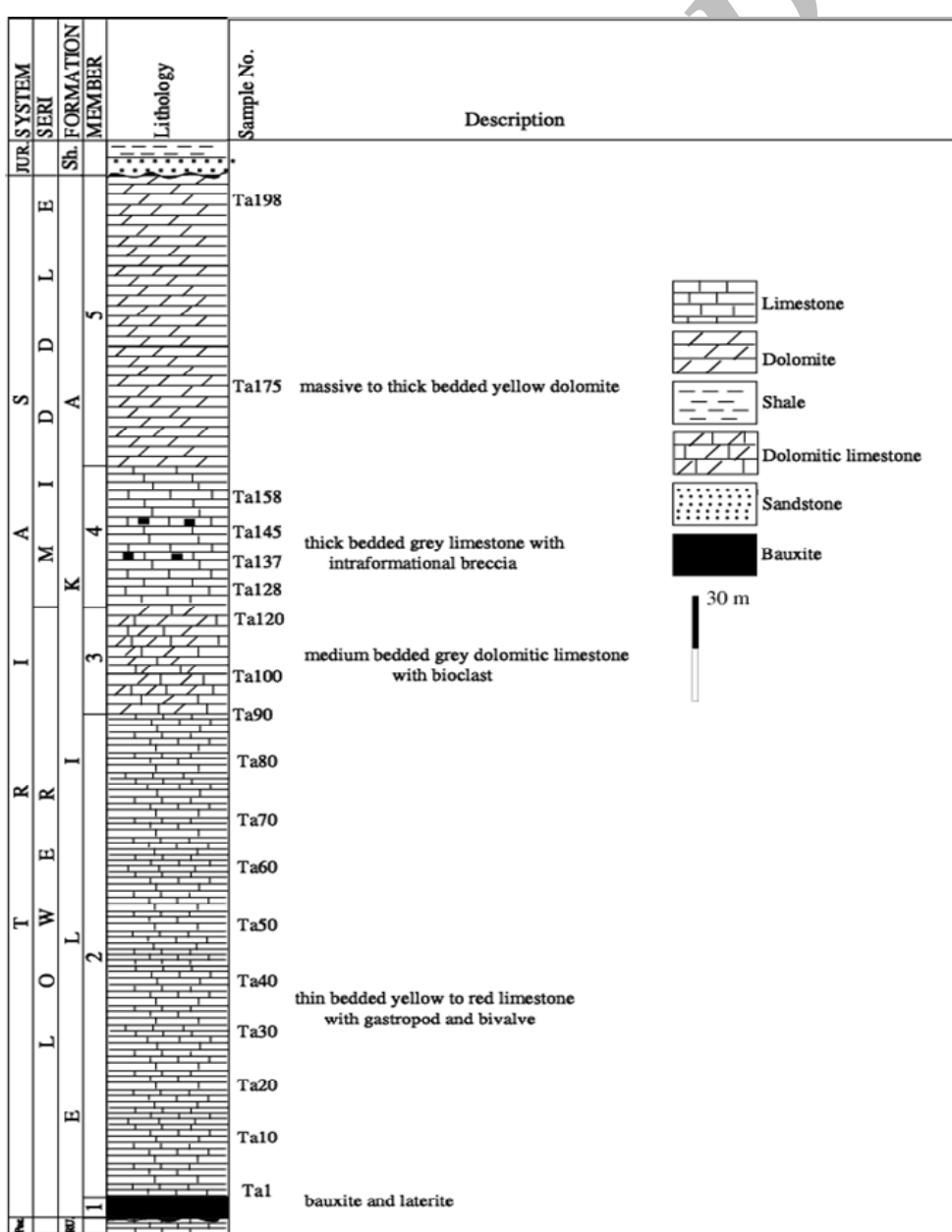
شرح میکروفاسیس‌ها

مطالعات میکروسکوپی نشانگر آن است که میکروفاسیس‌های آهکی از زیر محیط‌های رسوبی دریای باز، سد یا بار، لاغون و همچنین ساحل در پایین و پهنه جزر و مدى در بالا تشکیل شده‌اند.

این میکروفاسیس‌ها براساس افزایش عمق از ساحل به سمت دریا به شرح زیر می‌باشد:



شکل ۲- سازند الیکا (بخش قاعده L و فوقانی U) در برش تاش که عدم تنوع لیتولوژیکی از مشخصه بارز آن است.



شکل ۳- ستون چینه شناسی برش تاش.

می باشد (Shinn 1983, Hardi 1986) انحلال بلورهای تبخیری، سبب ایجاد قالب هایی گردیده که در مرحله بعد با کلسیت شفاف آب شیرین پر شده است (شکل ۳-۴). در رخنمون های صحرایی ناحیه تاش نیز می توان این قالب ها را مشاهده نمود (شکل ۴-۴).

۳- گروه میکروفاسیس های لاغون (L-Lagoon)

الف: گاستروپود پکستون (L₁)

قطعات اسلکتی این میکروفاسیس، عمدتاً از شکمپایان و به میزان کمتری دوکفه ای تشکیل شده است. این قطعات در یک متن میکرایتی قرار گرفته اند. محیط رسوبی این میکروفاسیس، بدليل فقدان فونای دریایی باز و فونای مخصوص این محیط، به لاغون نسبت داده شده است (شکل ۵-۴).

۲- گروه میکروفاسیس های پهنه جزر و مدی (T-Tidal flat)

الف: باندستون استروماتولیتی (T₁)

تناوب لایه های تیره و روشن که به وضوح در مقاطع نازک این میکروفاسیس قبل مشاهده است، دلیلی بر استروماتولیتی بودن این میکروفاسیس می باشد. محیط رسوبی این رخساره، پهنه بالای منطقه جزر و مدی است (شکل ۲-۴). ویلسون (۱۹۷۵) مشابه این رخساره را از پهنه جزر و مدی گزارش کرده است.

ب: مادستون با قالب بلورهای تبخیری (T₂)

این رخساره از رسوبات کربناته دانه ریز (میکرات) تشکیل شده و حاوی بلورهای ریز کانی های تبخیری است فراوانی قالب کانی های تبخیری، حکایت از شرایط آب و هوایی گرم و خشک در آن زمان



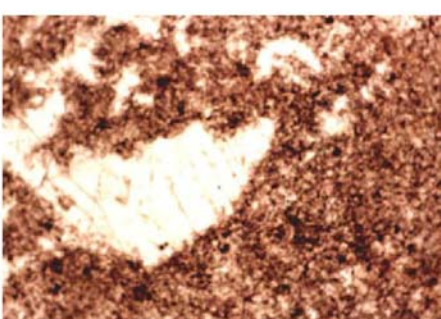
۲-۴



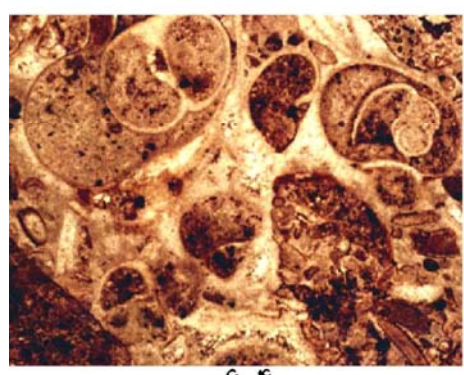
۱-۴



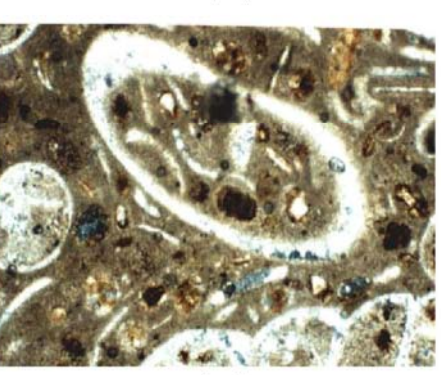
۴-۴



۳-۴



۶-۴



۵-۴

شکل ۱-۴- گاستروپود گرینستون (مقیاس $33 \times$ نور طبیعی). ۲- باندستون استروماتولیتی (مقیاس $33 \times$ نور پلاریزه). ۳- مادستون با قالب بلورهای تبخیری (مقیاس $53 \times$ نور پلاریزه). ۴- قالب بلورهای تبخیری در رخنمون صحرایی برش تاش. ۵- گاستروپود پکستون ($53 \times$ نور پلاریزه). ۶- گاستروپود اینتراکلاستیک پکستون ($33 \times$ نور پلاریزه).

ب: آئیید بیوکلاست گرینستون (S₂)

این میکروفاسیس از حدود ۵۰٪ آئیید، اکینوردم و خرده‌های پلسی پود و گاستروپود تشکیل یافته است. اندازه آئییدها در حدود ۰/۳ تا ۰/۵ میلی‌متر بوده که به شکل بیضوی و مدور دیده می‌شود. بین دانه‌های مختلف این میکروفاسیس را سیمان اسپارایتی شفاف و درشت بلور پر نموده است.

نکته قابل توجه این است که در بعضی از نمونه‌های این میکروفاسیس درصد موجودات استنوهالین بیش از ۲۵ درصد است که نشان از حاشیه به طرف سد یا بار دارد. در حالیکه در بعضی از نمونه‌ها درصد گاستروپود بیش از ۲۵ درصد است که احتمالاً مربوط به حاشیه بطرف لاغون تریاپس در برش تاش است، این میکروفاسیس معادل با میکروفاسیس شماره ۱۵ ویلسون (۱۹۷۵) است (شکل ۲-۵).

۵- گروه میکروفاسیس‌های دریای باز (Open marine)**الف: بایوکلاستیک گرینستون (O₁)**

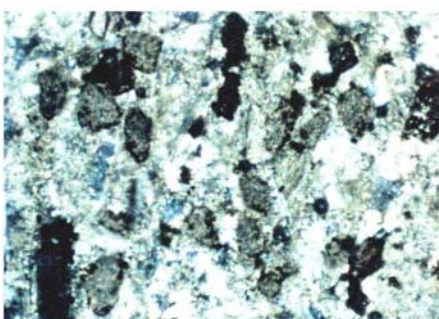
این رخساره از آلومهای نظیر پلسی پود، برآکیوپود و اکینید تشکیل شده است. فضای بین دانه‌ها از سیمان اسپارایتی پر شده است. گلوكونیت بطور مشخص در متن دیده می‌شود. گلوكونیت موقعی تشکیل می‌شود که میزان رسوبات آواری وارد به حوضه کم است. این رخساره در بخش دریای باز نزدیک به بار تشکیل می‌شود (شکل ۳-۵).



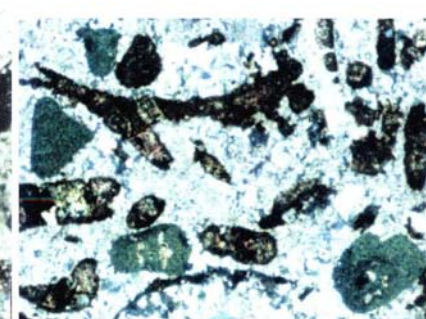
۲-۵



۱-۵



۴-۵



۳-۵

شکل ۵-۱- بایوکلاستیک گرینستون (۵۳× نور پلاریزه). ۲- آئیید گرینستون (۵۳× نور پلاریزه). ۳- بایوکلاستیک گرینستون (۳۳× نور پلاریزه). ۴- بایوکلاستیک وکستون (۳۳× نور طبیعی).

ب: گاستروپود اینتراکلاستیک پکستون (L₂)

آلومهای اصلی این رخساره از مجموعه جانوری لاغون و اینتراکلاست که درون یک ماتریکس میکراتی قرار گرفته‌اند، تشکیل شده است. با توجه به اینکه هیچگونه شواهدی، مبني بر خروج از آب در این رخساره وجود ندارد و تنوع کم گونه‌ها و وجود فون‌هایی محدود نظری گاستروپود که با این شرایط سازگارند، می‌توان چنین استنباط نمود که رخساره مذکور در زیر محیط لاغون ایجاد شده است (شکل ۴-۶).

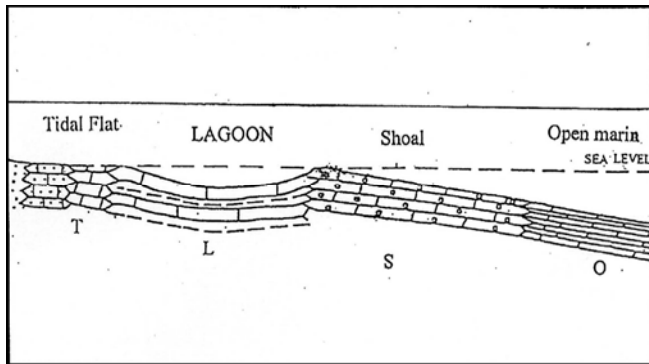
۴- گروه میکروفاسیس‌های سد یا بار (S-Shoal)

رخساره‌های این گروه، شامل جزایر سدی و سدهای زیر دریایی (Shoal) بوده که سبب جدایی زیر محیط لاغون از دریای باز می‌شود و به زیر گروه‌های S₁, S₂ تقسیم می‌شود.

الف: بایوکلاستیک گرینستون (S₁)

آلومهای این رخساره شامل گاستروپود، دوکفه‌ای و استراکد می‌باشد. قطعاتی از اینتراکلاست نیز در آن به چشم می‌خورد. اجزاء مذکور در داخل سیمانی از جنس کلسیت اسپارایتی گرفته‌اند. قطعات مزبور دارای پوشش نازک میکراتی هستند. شسته و خارج شدن گل و پر شدن حفرات از سیمان اسپارایتی نشان دهنده انرژی بالای محیط می‌باشد. محیط تشکیل آن به یک پشتہ هیدرودینامیکی بایوکلاستی نسبت داده می‌شود. این میکروفاسیس معادل میکروفاسیس استاندارد شماره ۱۱ ویلسون (۱۹۷۵) است (شکل ۱-۵).

توجه به موقعیت سنگ چینهای آنها و قرار گرفتن بر روی آهک‌های نازک لایه حاوی فسیل دوکفه‌ای کلاریا، معرف سنگ‌های تریاس میانی البرز می‌باشند. این دولومیت‌ها ضخامت قابل توجه‌ای را در چینه‌های تریاس به خود اختصاص می‌دهند. فرآیند دولومیتی شدن سبب گردیده که آثاری از فسیل در متن سنگ و در مقاطع نازک مشاهده نشود.



شکل ۶- مدل رسویی سازند الیکا در برش تاش.

مطالعات میکروسکوپی سنگهای دولومیتی سازند الیکا در برش تاش حاکی از آن است که در این برش ۵ نوع دولومیت مختلف قابل تشخیص می‌باشد که عبارتند از: ۱- دولومیت نوع گرنوتوبیک ۲- دولومیت با بلورهای نیمه منظم و قالب‌های بجا مانده از انحلال کانی‌های تیغه‌برگی ۳- دولومیت با بلورهای هم بعد و منظم با سطوح صاف ۴- دولومیت‌های مننظم تا نیمه مننظم متوسط بلور با هسته ابری و حاشیه شفاف ۵- دولومیت ریز بلور منظم که در بین آنها دولومیت‌های نوع گرنوتوبیک از همه فراوانتر است(شکل ۱-۷). این نوع دولومیت‌ها حاصل تبلور مجدد دولومیت‌هایی است که قبلًا شکل گرفته‌اند و یا از جانشینی کلسیت در حرارت‌های بالا بوجود آمدند.

به طور کلی بافت گزنتوپیک نشانه شکل‌گیری دولومیت تحت شرایط اپیژنیک و یا در شرایط دفنی عمیق است (Lee & Friedman, 1987).

دولومیت‌های با بلورهای هم بعد که موسوم به دولومیت‌های ایدیوت‌پیک می‌باشند فراوانی کمتری نسبت به سایر انواع دولومیت‌ها دارند(شکل ۷-۲). این نوع دولومیت‌ها به ندرت بافت اولیه قبل از دولومیتی شدن را در خود حفظ کرده‌اند، بلورهای آن شفاف و روشن بوده و فضای خالی بین بلورها با سیمان دولومیتی بصورت رشد اضافی پیر شده است.

ب: باپوکلاستیک و کستون (O_2)

آلوكم‌های این رخساره از خردنهای فسیلی دریایی باز، شامل استراکد، دوکفهای و اکینودرم تشکیل یافته است ذرات تخریبی کوارتز و آثار کمی از گلوکونیت نیز در متن مشاهده می‌شود. می‌توان چنین عنوان نمود که متن میکرایتی بوده، میکرایتها متبلور شده و دانه‌ها در یک متن اسپارنومورفیکی پراکنده شده‌اند. تبلور مجدد باعث ناپدید شدن آلوكم‌ها گردیده است (شکل ۴-۵).

محیط رسوپ گذاری و مدل رسوپی

با مطالعه مقاطع نازک و تعیین میکروفاسیس‌های رسوبی سازند الیکا در برش تاش و مقایسه آن با محیط‌های امروزی محیط دریای باز تا مردابی و پهنه جزر و مدی مشخص گردید که با وجود یک سد از هم جدا شده بودند.

زیر محیط دریای باز با داشتن عناصر اسکلتی دریای باز و قرار گرفتن در توالی رسوبی (مجاور سد یا بار) قابل تشخیص است. زیر محیط سد در بالای قاعده اثر امواج قرار داشته و انرژی زیاد سبب گردیده که دانه‌های بیوکلاستی در این قسمت تنهشت پیدا کند. این دانه‌ها اغلب در حد ماسه بوده و فاقد ماتریکس آهکی می‌باشد. بنابراین فضای بین دانه‌ها توسط سیمان کلسیت اسپاری پر شده است. این رخساره پر انرژی‌ترین رخساره سازند الیکا در ناحیه مورد مطالعه است.

زیر محیط لاگون به دلیل دارا بودن سدهای بیوکلاستی دارای انرژی کمی بوده و همچنین بر اثر چرخش محدود آب، شوری آن زیاد می‌باشد. تنوع کم گونه‌های جانوری و فون‌های خاص این نواحی نظری گاستروپود این زیر محیط را مشخص می‌نماید. رخساره پهنه جزر و مدی با باندستون استروماتولیتی و قالب بلورهای تبخیری ژیپس و فایبر پک چشم پرنده‌ای مشخص می‌شود.

بنابراین با توجه به شرایط تشکیل مجموعه رخساره‌ها و گسترش آنها و همچنین مقایسه با کارهای دیگران (Wilson 1975, Tucher & Wright 1990, Sellwood 1996, Einsele 2000 سنگ‌های تریاس زیرین و میانی منطقه مورد مطالعه یک پلاتفرم کربناته کم عمق از نوع رمپ را پیشنهاد نمود (شکل ۶).

دولومیتی شدن سازند الیکا در پوش تاش

دولومیت‌های ضخیم لایه بخش بالای سازند الیکا در پیش تاش با

شرح هر کدام از آنها می‌بردازیم.

۱- سکانس رسوی اول (۱)

این سکانس به سن اسکتین و با ناپیوستگی نوع اول (SB₁) بر روی رسوبات پرمین میانی (سازند روته) قرار می‌گیرد. سکانس رسوی مذکور با مجموعه‌ای از پاراسکانس‌های پیشرونده شروع شده و به سطح حداکثر پیشروی (mfs) که با افق‌های دارای زیست آشفتگی شدید و مربوط به دریای باز همراه است، قابل شناسایی می‌باشد پاراسکانس‌های پیشرونده (TST) از مجموعه‌ای از رخساره‌های مربوط به محیط‌های لagonی، سدی، تشکیل شده است. به نحوی که قاعده هر پاراسکانس نسبت به پاراسکانس قبلی با رخساره عمیق‌تر مشخص می‌گردد. پاراسکانس‌های HST با تکرار رخساره‌های مربوط به لagon و پهنه جزر و مدى بصورت افزاینده (Aggradational) ظاهر می‌شود.

۲- سکانس رسوی دوم (۲)

مرز زیرین و بالای آن شامل ناپیوستگی نوع دوم (SB₂) است، که با میکروفاسیس آبیید گرینستون مشخص می‌شود. تغییر ناگهانی از رخساره پهنه جزر و مدى به رخساره سد یا بار نشانگر مرز سکانس نوع دوم (SB₂) می‌باشد. در سکانس مذکور فاز TST از پاراسکانس‌های Retrogradational تشکیل می‌گردد.

پاراسکانس‌های قاعده شامل پاراسکانس‌های بار و دریای باز و بخش بالایی شامل پاراسکانس‌های دریای باز - لagon می‌باشد.

۳- سکانس رسوی سوم (۳)

مرز زیرین و بالای آن شامل ناپیوستگی نوع دوم (SB₂) است، که با میکروفاسیس بایوکلاستیک گرینستون مشخص می‌شود. قاعده سکانس با رخساره دریای باز شروع می‌شود که با مرز سکانس نوع ۲ بر روی رخساره‌های لagon سکانس دوم قرار می‌گیرد. این سکانس از مجموعه رخساره‌های TST و HST تشکیل شده است. مجموعه رخساره TST با گسترش ناگهانی رخساره‌های دریای باز شروع شده و به سطح حداکثر پیشروی (mfs) منتهی می‌گردد.

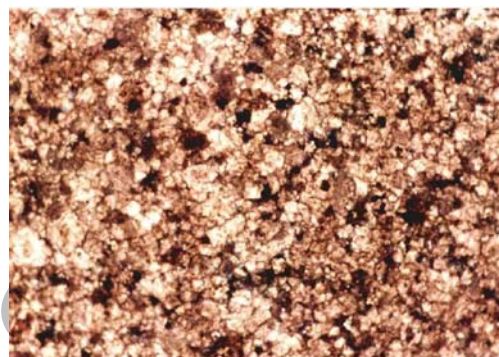
مجموعه رخساره‌های HST در این سکانس با مجموعه‌ای از رخساره‌های بار و لagon شروع گردیده و در انتهای، با رخساره پهنه جزر و مدى مشخص می‌گردد.

۴- سکانس رسوی چهارم (۴)

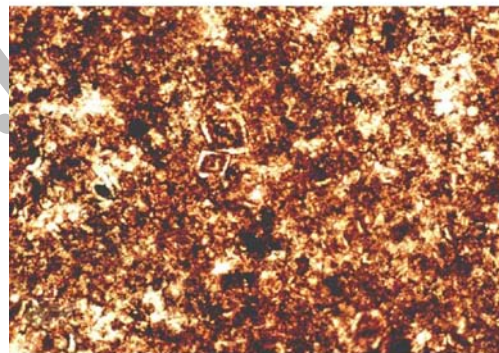
مرز زیرین آن با ناپیوستگی نوع دوم (SB₂) که شامل رخساره بایوکلاستیک گرینستون و مرز بالایی آن با ناپیوستگی (SB₁) مشخص می‌شود. در قاعده این سکانس رخساره‌های بار بطور ناگهانی بر روی رخساره پهنه جزر و مدى قرار گرفته و ایجاد مرز سکانس نوع دوم را می‌نماید.

مقدمه‌ای از سکانس‌های رسوی سازند الیکا در برش تاش

سکانس‌های رسوی سازند الیکا در پلتفرم نوع رمپ نهشته شده‌اند. در چنین پلتفرم‌هایی مجموعه رخساره‌ای LST (Lowstand system tract) که نشانگر پایین‌ترین سطح آب دریا بوده، محدود می‌باشد. HST (Transgressive system tract) TST (Highstand system tract) مجموعه رسوی Sarg 1988 (Calvet et al, 1990) گسترش بیشتری دارد.



۱-۷



۲-۷

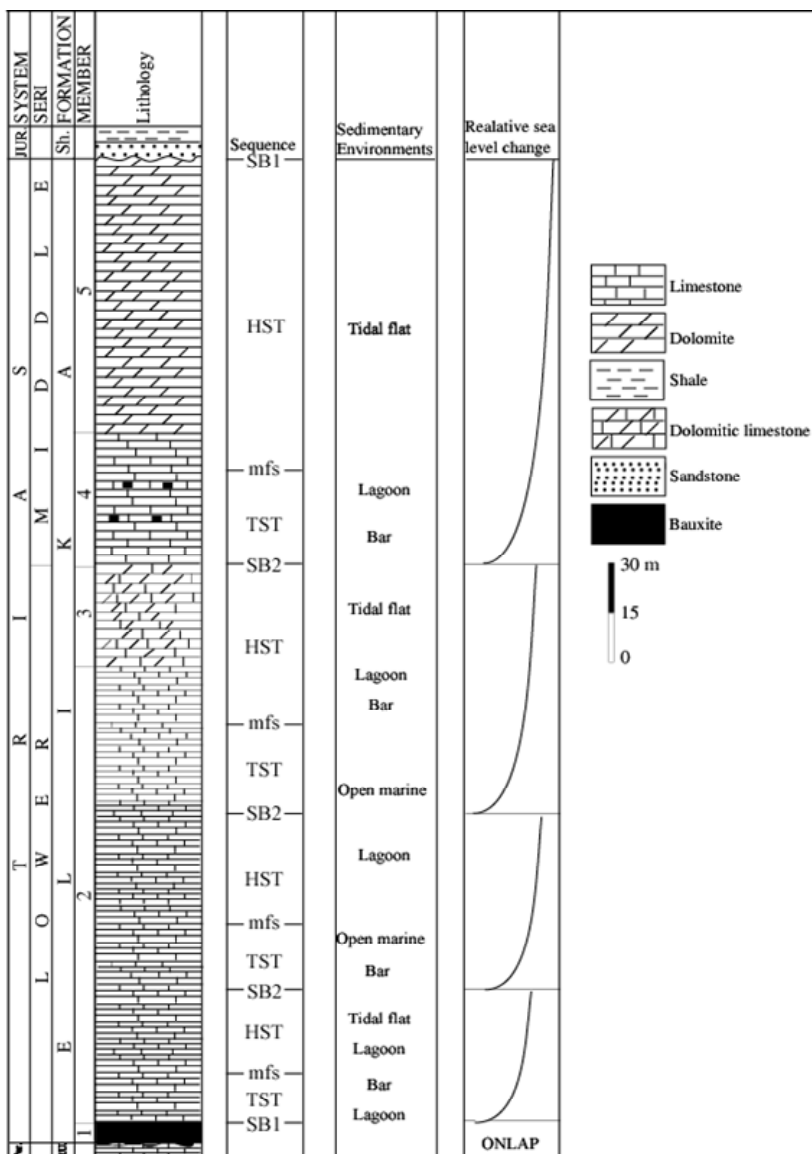
شکل ۱-۷-۱- دولومیت گزنو توپیک (۱۳۰ × نور پلاریزه). ۲- دولومیت ایدیو توپیک (۱۳۰ × نور پلاریزه).

براساس بررسی‌های انجام شده (مشاهدات صحرایی و مطالعات ازمایشگاهی) ۴ سکانس رسوی رده سوم در این برش مشخص گردید. مجموعه‌های رسوی سکانس‌های مذکور برحسب خصوصیات رخساره‌ای تفکیک شده و براساس آنها چرخه‌های تغییرات سطح آب دریا نشان داده شده‌اند.

نوسانات سطح آب دریا، از مهمترین عوامل تغییرات رخساره‌ای، در سکانس‌های رسوی ابتدایی می‌باشد (Stresser & Hillgartner 1998) (Pittet & Strasser 1998).

سکانس‌های رسوی برش تاش

در این برش که یکی از کامل‌ترین برش‌ها در زون البرز شرقی می‌باشد، چهار سکانس رسوی رده سوم تشخیص داده شده است که در زیر به



شکل ۸- سکانس‌های رسوبی سازند الیکا در برش تاش.

رخساره‌ها در یک پلاتفرم کربناته از نوع رمپ و چهار زیر محیط دریایی باز سد یا بار، لagon و پنهانه جزر و مدبی نهشته شده‌اند. مشاهدات صحراوی و آزمایشگاهی منجر به شناسایی چهار سکانس رسوبی رده سوم گردید. مرزهای بین سکانس از انواع ناپیوستگی‌های درجه اول و دوم می‌باشد که مرزهای زیرین و بالایی سازند الیکا در این ناحیه بیانگر دو ناپیوستگی از نوع اول هستند که شامل افق لاتریتی و بوکسیتی است.

مطالعات چینه نگاری سکانس سازند الیکا در برش تاش شباهت آن را با دیگر برش‌های مطالعه شده در زون البرز نشان می‌دهد.

فاز TST در این سکانس با رخساره‌های سد و لagon مشخص می‌شود. فاز HST با پاراسکانس‌های تشکیل شده در سکون نسبی سطح آب دریا با انباستگی رخساره‌های رمپ داخلی ظاهر شده که در نهایت به پاراسکانس‌های پری‌تايدال تبدیل می‌شود. این سکانس رسوبی با ناپیوستگی نوع اول (SB₁) از رسوبات سازند شمشک جدا می‌گردد (شکل ۸).

نتیجه‌گیری

سنگ‌های تریاس زیرین و میانی برش تاش (سازند الیکا) با ضخامتی در حدود ۳۰۰ متر یکی از برش‌های کامل در زون البرز شرقی است. مطالعات پتروگرافی حاکی از آن است که چندین گروه میکروفاسیس‌های آهکی در این برش قابل تشخیص است. این

منابع

- جهانی، د. ۱۳۷۹: تحلیل حوضه رسوی نهشته‌های سازند الیکا در البرز مرکزی و شرقی. پایان نامه دکتری، دانشگاه آزاد اسلامی، واحد علوم و تحقیقات. ۲۷۵ صفحه.
- ربانی، ر. ۱۳۷۲: محیط رسوی و دیاٹنر بخش زیرین سازند الیکا در مقطع سربندان (فیروزکوه)، پایان نامه کارشناسی ارشد، دانشگاه تهران. صفحه ۱۸۷.
- ستوهیان، ف. ۱۳۸۳: مطالعات لیتواستراتیگرافی، بیواستراتیگرافی و تفسیر محیط رسوی سازند الیکا در ناحیه البرز شرقی. پایان نامه دکتری چینه شناسی و فسیل شناسی دانشگاه شهید بهشتی. ۱۴۹ صفحه.
- طهماسبی، ع. ۱۳۷۶: بررسی میکروفاسیس، محیط‌های رسوی و چینه شناسی توالی‌های بخش‌های زیرین و میانی سازند الیکا در شرق البرز مرکزی. پایان نامه کارشناسی ارشد، دانشگاه تربیت معلم تهران. صفحه ۱۲۵.
- قماشی، م. ۱۳۷۰: مطالعه لیتواستراتیگرافی، میکروفاسیس‌ها، محیط‌های رسوی و تغییرات دیاژنتیک سنگ‌های رسوی تریاس در منطقه بی‌بی شهربانو، جنوب شرق تهران. پایان نامه کارشناسی ارشد دانشگاه تربیت معلم. صفحه ۲۰۰.
- لطف‌پور، م. ۱۳۷۶: بررسی میکروفاسیس محیط‌های رسوی و چینه شناسی توالی‌های بخش‌های میانی و بالای سازند الیکا در شرق البرز مرکزی. پایان نامه کارشناسی ارشد، دانشگاه تربیت معلم تهران. صفحه ۱۴۸.
- Buechette, T.P., Wright, V.P., 1992: Carbonate Ramp depositional systems. *Sed. Geol.* **79**: 3-57.
- Calvet F., Tuckett M. E., Henton J.E. 1990: Middle Triassic Carbonate Ramp Systems in the Catalan Basin Northeast Spain: Facies, Systems Tracts, Sequence and Controls. *Spec. Publs. Int. Ass. Sediment.* pp. **79**-108.
- Carozzi A.V. 1989: Carbonate Rock Depositional Models, *A microfacies approach*. Prentice Hall. 604 pp.
- Dunham R.J. 1962: Classification of carbonare rocks according to depositional texture. In: *Classification of Carbonare Rocks* (Ed. By W. E. Ham). *Mem Am. Assoce. Pet. Geol.* **1**:108-121 p.
- Einsele G. 2000: *Sedimentary basins: evolution, Facies, and Sediment budget*. Springer. 792 p.
- Glaus M., 1964: Trias and oberperm im zentralen Elburz (Persien). *Eclog. Geol. Helv.* **57**: 497-508.
- Gregg J.M., Sibley D.F. 1984: Epigenetic dolomitization and the origion of xenotopic dolomite texture. *J. Sed. Petrology.* **54**: 908-931.
- Hardi L.A. 1986: Carbonate tidal flat deposition: Ten basic elements. *Q. J. Colo. Sch. Mines.* **81**: 3-6.
- Lee Y. I., Friedman G.M. 1987: Deep-Burial dolomitization in the Ordovician Ellenburger Group carbonates, Western Texas and Southeastern New Mexico. *J. Sed. Petrology.* **57**: 544-557.
- Pittet B., d Strasser A. 1998: A. Long-distance Correlation by sequence stratigraphy and Cyclostratigraphy: examples and implications (oxfordian from the Swiss jura, Spain, and Normandy). *Geol. Rundsch.* **86**: 582-874.
- Read J.F. 1985: Carbonate platform facies models. *Bull. Ann. Ass. Petrol. Geol.* **66**: 860-878.
- Sarg J.F. 1988: Carbonate sequence stratigraphy. In: Wilgus C. K. Hastings B. S., Kendall C. G. St. C., Posamentier H. W., Ross C. A., Van Waggoner J. C. (Eds). *Sea-Level Changes: An Integrated Approach*. Soc. Econ. Paleontol Mineral, Spec. Publ. **42**: 15-181.
- Sellwood B.W. 1996: Shallow marine carbonate environments In: H.G., Reading (Ed.), *Sedimentary Environment Processes Facies and Stratigraphy*. Blackwells Science. Oxford. 688 p.
- Shinn E.A. 1983: Tidal flat environment In: P. A. Scholle D. G. Bebout and C. H. Moore (Editors), *Carbonate Depositional Environments*. Am. Assoc Pet. Geol. Mem. **33**: 173-210.
- Straser A., Hillgartner H. 1998: High-frequency sea-level fluctuations recorded on a shallow carbonate platform (Berriasian. And Lower Valanginian of Mount Sal Ve, French Jura). *Eclogae Geol. Helv.* **91**: 375-390.
- Tucher M.E. Wright. V.P. 1990: *Carbonate Sedimentology*. Blackwells. Oxford. 482 pp.
- Wilson J.L. 1975: *Carbonate Facies in Geologic History*, 2nd ed. Springer Verlag. 471 p.
- Zenger D.H. 1983: Burial Dolomitization in the Lost Burrow Formation (Devonian) east-central California, and the significance of the kate diagenetic dolomitization. *Geology.* **11**: 52- 519.